

การวิเคราะห์ความเค้นในรากฟันเทียมของฟันปลอมติดแน่นชั้นนิดไอบริดโดยใช้ ระบบวิธีไฟนิตี้เอลิเมนต์

STRESS ANALYSIS IN HYBRID DENTURE BY THE FINITE ELEMENT METHOD

เชิดพันธ์^{1*} วิทูราภรณ์ และ ชาคริต¹ ตั้งศิริมงคล

¹ภาควิชาวิศวกรรมเครื่องกล คณะวิศวกรรมศาสตร์ จุฬาลงกรณ์มหาวิทยาลัย เขตปทุมวัน กรุงเทพมหานคร 10330

โทร 0-2218-6622 โทรสาร 0-2252-2889 *อีเมล์ chirdpun@hotmail.com

Chirdpun^{1*} Vitooraporn and Chacrit¹ Tangsirimongkol

¹Department of Mechanical Engineering Faculty of Engineering Chulalongkorn University Patumwan, Bangkok 10330

Tel: 0-2218-6622 Fax: 0-2252-2889 * E-mail: chirdpun@hotmail.com

บทคัดย่อ : งานวิจัยนี้เป็นการศึกษาการกระจายความเค้นในฟันปลอมไอบริดบนกระดูกขากรรไกรล่างโดยใช้ระบบวิธีไฟนิตี้เอลิเมนต์ เพื่อศึกษายืดหยุ่นและแนวทางในการแก้ปัญหาซึ่งเกิดจากการลดจำนวนรากฟันเทียมที่รองรับฟันปลอมไอบริดให้เหลือเพียง 3 ตัว โดยการสร้างแบบจำลองไฟนิตี้เอลิเมนต์สามมิติของกระดูกขากรรไกรล่างซึ่งผังรากฟันเทียม 3 ตัว และ 5 ตัว เมื่อมีแรงบดเคี้ยวกระจาดทั้งปากและเมื่อมีแรงบดเคี้ยวเฉพาะฟันรามด้านขวา กำหนดให้ความยาวรากฟันเทียมระยะระหว่างรากฟันเทียมด้านหน้าสุดและหลังสุด และความยาวส่วนยืนด้านท้ายฟันเทียมปลอมเท่ากัน จากการคำนวณค่าความเค้นที่เกิดขึ้นบนโครงสร้างฟันปลอมและกระดูกรอบรากฟันเทียมที่ต้องผังลงในกระดูกขากรรไกรล่างให้เหลือเพียง 3 ตัวทำให้ค่าความเค้นสูงสุดที่ตำแหน่งของรากฟันเทียมด้านหลังสุดนั้นมีค่าสูงขึ้นเมื่อเทียบกับการผังรากฟันเทียมจำนวน 5 ตัว เนื่องจากรากฟันเทียมแต่ละตัวต้องรับโมเมนต์ดัดเพิ่มขึ้น ซึ่งมีแนวทางในการแก้ปัญหาคือการเพิ่มความแข็งแรงให้แก่โครงสร้างฟันปลอม ได้แก่ การเพิ่มขนาดของหลักยึดรากฟันเทียม หรือการเสริมบำรุงรับให้แก่หลักยึดรากฟันเทียม และอีกแนวทางในการแก้ปัญหาคือการลดโมเมนต์ดัดที่ลงสู่รากฟันเทียมด้วยหลังสุด ได้แก่ การเปลี่ยนวัสดุที่ใช้ทำโครงโลหะให้มีความแข็งมากขึ้น หรือการออกแบบโครงสร้างฟันปลอมถ่ายทอดแรงในแนวแกนรากฟันเทียมลงสู่รากฟันเทียนเท่านั้น

Abstract: This research is to investigate the probability on reducing of implant that used to support the hybrid denture. The finite element method is used as a tool to study the stress distribution in this study. The hybrid denture supported with three and five implants is modeled and embedded in a model of the mandibular bone. The vertical chewing force is then applied on the denture in two different patterns, i.e. one as a set of concentrated force throughout the denture and the other as a concentrated force on the right molars. The length of the implant,

the distance between the front end and the rear end of the implant and the length of the distal extension cantilevers is set to be equal. The results from the finite element method reveal that by reducing the number of implants into three, the maximum stress occurred in the implant at the rear end are higher than that when using five implants. This is because each implant must bear on the higher bending moment. The solutions on this problem are to enhance the strength on the hybrid denture by increasing the size of abutment or adding the chamfer at the neck of abutment. Other solutions are to reduce the bending moment on the implant at the rear end by using other materials with higher strength such as cobalt or to redesign the structure of denture so that it receives only the axial force.

1. บทนำ

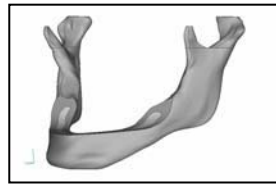
การทำฟันปลอมติดแน่นชั้นนิดไอบริดในกระดูกขากรรไกรล่างสำหรับผู้ป่วยไร้ฟัน ทันตแพทย์จะต้องทำการผ่าตัดผังรากฟันเทียมลงในกระดูกขากรรไกรล่างจำนวนมากถึง 4-6 ตัว และแต่ละภาคของกระดูกขากรรไกร แต่ถ้าหากสามารถลดจำนวนรากฟันเทียมที่ต้องผังลงในกระดูกขากรรไกรให้เหลือเพียง 3 ตัวได้ ก็จะก่อให้เกิดประโยชน์ต่อผู้ป่วยที่ประสบกับปัญหาทางด้านสภาพร่างกายซึ่งไม่สามารถทนต่อการผ่าตัดผังรากฟันเทียมจำนวนมากได้ โดยความเป็นไปได้ในการลดจำนวนรากฟันเทียมที่ต้องผังลงในกระดูกขากรรไกรล่างนั้นสามารถพิจารณาได้จากการกระจายความเค้นในกระดูกรอบๆรากฟันเทียม ความเค้นในรากฟันเทียม และความเค้นในส่วนของสะพานฟันปลอม

2. การสร้างแบบจำลองไฟนิตี้เอลิเมนต์ฟันปลอมไอบริดในขากรรไกรล่าง

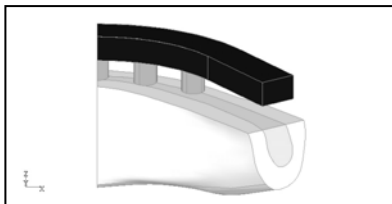
การจำลองกระดูกขากรรไกรล่างเพื่อศึกษาการกระจายความเค้นรอบๆรากฟันเทียนนั้นไม่จำเป็นต้องจำลองขากรรไกรล่างทั้งอันเนื่องจากผลการทดสอบทางคลินิกพบว่าการจำลองขากรรไกรให้อยู่ใน

ลักษณะของงานยึน โดยมีจุดรองรับแบบตึงปลายอยู่ที่หน้าตัดขวางของกระดูกขากรไกรล่างบริเวณหลังรากฟันเทียมด้วยสุดท้ายที่ระยะปลายสุดพื้นปลอมนั้นเพียงพอต่อการสร้างแบบจำลองเพื่อคำนวณความเค้นรอบรากฟันเทียมแล้ว ดังนั้นในการสร้างแบบจำลองใน การศึกษาจึงได้นำภาพสามมิติที่ใช้คอมพิวเตอร์สร้างขึ้นจากภาพที่ได้จากการทำ CT scan (รูปที่ 1) มาตัดกระดูกขากรไพรล่างส่วนที่อยู่เฉยระยะปลายสุดของพื้นปลอมไปทางด้านท้ายออก เพื่อใช้เป็นแบบจำลองส่วนที่เป็นกระดูกขากรไพรล่าง

เนื่องจากกระดูกขากรไพรล่างและชุดพื้นปลอมไอบริดในแบบจำลองมีความสมมาตรซ้ายขวา ดังนั้นจึงสร้างแบบจำลองครึ่งขวาเพียงครึ่งเดียว (รูปที่ 2) สำหรับใช้ในการวิเคราะห์ความเค้นที่เกิดขึ้นโดยมีหน้าตัดที่แบ่งครึ่งของการไกรเป็นหน้าตัดสมมาตร

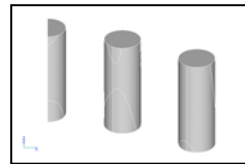


รูปที่ 1 ภาพสามมิติของกระดูกขากรไพรล่างทั้งข้างที่สร้างขึ้นจากภาพที่ได้จากการทำ CT scan



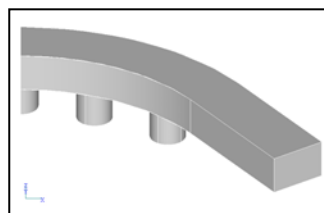
รูปที่ 2 รูปร่างลักษณะครึ่งส่วนด้านขวาของแบบจำลองพื้นปลอมไอบริดผิวเรียบเทียม 5 ด้าวในกระดูกขากรไพรล่าง ส่วนบนสุด (สีดำทึบ) คือโครงโลหะ ใต้โครงโลหะคือหลักยึด สีขาวคือกระดูกทึบ ภายในกระดูกทึบคือกระดูกโภปร่อง รากฟันเทียมจะฝังอยู่ในกระดูกขากรไพรล่างได้หลักยึดรากฟันเทียม

รูปร่างของรากฟันเทียมถูกจำลองให้เป็นทรงกระบอกสูง 10 มม. มีเส้นผ่าศูนย์กลาง 3.75 มม. รากฟันเทียมจะฝังดัวลงในกระดูกขากรไพรล่างโดยให้แกนรากฟันเทียมอยู่ในแนวตั้ง ในแบบจำลองพื้นปลอมไอบริดที่ฝังรากฟันเทียม 5 ด้าว จะฝังรากฟันเทียมกระจาอยู่ในขากรไพร โดยกำหนดให้รากฟันเทียมแต่ละด้าวยู่ห่างจากกัน 11 มม. วัดจากจุดศูนย์กลางรากฟันเทียมด้าหนึ่งไปยังรากฟันเทียมอีกด้าหนึ่งเพื่อความสะดวกในการวิเคราะห์จึงกำหนดให้รากฟันเทียมด้าหลังสุดเป็นรากฟันเทียมด้าที่ 1 รากฟันเทียมด้าหน้าสุดเป็นรากฟันเทียมด้าที่ 3 และรากฟันเทียมที่อยู่ระหว่างรากฟันเทียมด้าหน้าและด้าหลังคือรากฟันเทียมด้าที่ 2 โดยที่หน้าตัดสมมาตรของแบบจำลองจะตัดผ่านครึ่งรากฟันเทียมด้าที่ 3 ดังรูปที่ 3 ส่วนในแบบจำลองที่ฝังรากฟันเทียม 3 ด้าจะไม่มีรากฟันเทียมด้าที่ 2



รูปที่ 3 การเรียงด้าของรากฟันเทียม

โครงสร้างพื้นปลอมที่อยู่เหนือกระดูกจะประกอบด้วยโครงโลหะและหลักยึดรากฟันเทียม โดยโครงโลหะจำลองให้มีรูปร่างเป็นคนโคงโคงรูปเกือกม้าซึ่งมีหน้าตัดสี่เหลี่ยมผืนผ้ามีความกว้าง 6 มม. หนา 4 มม. และมีส่วนยื่นด้านท้ายยาว 20 มม. ทั้งด้านซ้ายและขวา ส่วนหลักยึดรากฟันเทียมเป็นทรงกระบอกมีหน้าตัดเท่ากับรากฟันเทียมแต่มีความสูง 4 มม. ดังรูปที่ 4



รูปที่ 4 ลักษณะของโครงโลหะและหลักยึดรากฟันเทียม

กำหนดให้ส่วนที่เป็นรากฟันเทียม โครงโลหะและหลักยึดรากฟันเทียมทำมาจากโลหะไททาเนียมอัลลอย (Ti-6Al-7Nb) โดยมีค่าโมดูลและความยืดหยุ่นเท่ากับ 105 GPa มีอัตราส่วนของปัวซองเท่ากับ 0.35 และมีความเค้นดึงที่จุดครากเท่ากับ 830 MPa และความเค้นเลื่อนที่จุดครากเท่ากับ 415 MPa

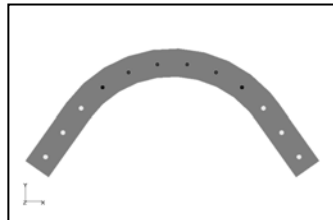
คุณสมบัติวัสดุของกระดูกขากรไพรถูกกำหนดจากคุณสมบัติของกระดูกที่ใช้ในงานวิจัยทางด้านชีวกลศาสตร์ โดยกำหนดให้กระดูกมีคุณสมบัติเป็นเนื้อเตี้ยกวันและอยู่ในกลุ่มโลไซทรอปิก และเลือกใช้ค่าที่ได้จากการตรวจวัดทางสกิดิจากกลุ่มประชากรที่มีอายุ เพศ และพันธุกรรมที่หลากหลายในการกำหนดเป็นคุณสมบัติให้กระดูกทึบมีค่าโมดูลและความยืดหยุ่นเท่ากับ 13.7 GPa อัตราส่วนปัวซองเท่ากับ 0.3 และในกระดูกโภปร่องมีค่าโมดูลและความยืดหยุ่นเท่ากับ 1.37 GPa อัตราส่วนปัวซองเท่ากับ 0.3 ส่วนค่าความแข็งแรงของกระดูกทึบซึ่งได้จากการทดสอบกำลังวัสดุ พบร่วมค่าความแข็งแรงวัสดุจากการทดสอบแรงดึงเท่ากับ 133 MPa จากการทดสอบแรงกดเท่ากับ 193 MPa และจากการทดสอบแรงเฉือนเท่ากับ 68 MPa

กำหนดให้แรงบดเคี้ยวเป็นแรงในแนวตั้งกระทำบนจุดสนพัน 12 จุด กระจายอยู่ด้านบนของโครงโลหะด้วยระยะห่างที่คงที่ โดยมีจุดสนพันหน้า 4 จุด จุดสนพันเขี้ยว 2 จุด จุดสนพันหลัง (พันกราม) 6 จุด ดังรูปที่ 5

ลักษณะการบดเคี้ยวจะแบ่งเป็น 2 กรณีคือ **กรณีที่ 1** แรงบดเคี้ยวจะกระจายทั้งปาก กำหนดให้ใช้ชุดแรงบดเคี้ยว 155-175-195 N โดยมีแรงบดเคี้ยวในแนวตั้งที่กระทำกับแต่ละจุดสน

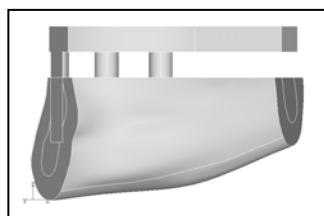
พื้นหน้า เท่ากับ 155 N แรงบดเคี้ยวในแนวตั้งกระทำกับแต่ละจุดสนพื้น เชี้ยวเท่ากับ 175 N และแรงบดเคี้ยวในแนวตั้งกระทำกับแต่ละจุดสนพื้นกรรมเท่ากับ 195 N

กรณีที่ 2 แรงบดเคี้ยวเฉพาะบริเวณพื้นกรรมด้านขวางกระทำกับแต่ละจุดสนพื้นกรรมเท่ากับ 190 N



รูปที่ 5 ตำแหน่งจุดสนพื้นบนโครงโลหะ

ในการศึกษาฯกำหนดให้มีจุดรองรับที่ด้านท่านทั้งการเคลื่อนที่และการหมุนของหน้าตัด (แบบตึงปลาย)ที่ปลายแบบจำลองกระดูกขากรไกรล่างซึ่งมีตำแหน่งเดียวกับระยะปลายสุดของพื้นปลอมในแนวตั้ง และแบบจำลองนั้นมีสมมาตรชัยขวาที่หน้าตัดสมมาตร ซึ่งจะให้ผลจากการคำนวณตรงกับผลการตรวจสอบทางคลินิก ดังรูปที่ 6



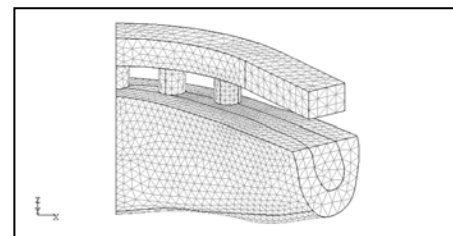
รูปที่ 6 ตำแหน่งของจุดรองรับบนแบบจำลอง ซึ่งหน้าตัดด้านขวาคือหน้าตัดที่กำหนดค่าของเบต้าให้มีการเคลื่อนที่และการหมุนของหน้าตัด ส่วนหน้าตัดด้านซ้ายคือหน้าตัดที่กำหนดให้แบบจำลองมีความสมมาตรของรูปร่างแบบจำลองที่หน้าตัดนี้

งานวิจัยนี้เลือกใช้อลิเมนต์ทรงสี่เหลี่ยม 10 จุดต่อ โดยที่ในแต่ละส่วนของแบบจำลองจะกำหนดขนาดของอลิเมนต์ให้มีขนาดใหญ่ลงถ้าไม่เท่ากัน โดยบริเวณที่ไม่ได้รับความสนใจในการศึกษาฯซึ่งได้แก่บริเวณจุดที่กำหนดให้มีแรงบดเคี้ยวและจุดที่กำหนดให้เป็นจุดรองรับของโครงสร้างนั้นจะกำหนดให้อลิเมนต์มีขนาดใหญ่ (ประมาณ 1.5 มม.) ส่วนของกระดูกรอบรากฟันเทียมที่มีความเค้นสูงซึ่งเป็นจุดที่มีความสำคัญต่อการศึกษาฯจะกำหนดให้อลิเมนต์มีขนาดเล็ก(ประมาณ 0.7 มม.) ซึ่งหากกำหนดขนาดของอลิเมนต์ให้เล็กกว่านี้ พบว่าผลที่ได้จากการคำนวณจะแตกต่างกันเพียงเล็กน้อยเท่านั้น รูปที่ 7 แสดงการแบ่งอลิเมนต์ในแบบจำลองที่มีการผังรากฟันเทียม 5 ดัว

3. การกระจายความเค้นในพื้นปลอมไอบริด 5 รากฟันเทียม

เนื่องจากทฤษฎีที่ใช้ในการทำงานการแตกหักของวัสดุนั้นแตกต่างกันในวัสดุหนี่ยวและวัสดุประจำ ดังนั้นในการวิเคราะห์ความเค้นที่เกิดขึ้นในแบบจำลองจึงใช้ความเค้นที่แตกต่างกันมาเป็นเกณฑ์

ในการพิจารณา โดยที่ส่วนของแบบจำลองที่เป็นโลหะไทยเนียมอัลลอยซึ่งเป็นวัสดุหนี่ยวแน่นใช้ค่าความเค้นเนื่องสูงสุดเป็นเกณฑ์ในการวิเคราะห์ ส่วนที่เป็นกระดูกซึ่งเป็นวัสดุประจำนั้นใช้ค่าความเค้นดึงความเค้นปกติ และความเค้นเนื่องสูงสุด โดยที่สามารถศึกษาการกระจายความเค้นดึงได้จากค่าความเค้นหลักสูงสุดและศึกษาการกระจายความเค้นด้วยการค่าความเค้นดึงได้จากการค่าความเค้นหลักต่ำสุด ส่วนค่าความเค้นเฉือนนั้นสามารถศึกษาการกระจายความเค้นได้จากการกระจายความเค้นเฉือนสูงสุด ทั้งนี้ ค่าความเค้นที่เกิดขึ้นบนโครงสร้างพื้นปลอมนั้นต้องมีค่าไม่เกินจุดครากของไทยเนียมอัลลอย ส่วนค่าความเค้นในกระดูกรอบรากฟันที่ยอมนั้นต้องมีค่าไม่เกินกว่าค่ากำลังวัสดุของกระดูกทึบ ผลที่ได้จากการคำนวณด้วยระบบเบียนวิชีไฟไนต์อลิเมนต์มีดังต่อไปนี้

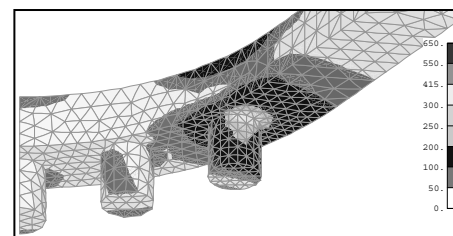


รูปที่ 7 การแบ่งอลิเมนต์ในแบบจำลองพื้นปลอมไอบริดผังรากฟันเทียม 5 ดัวบนกระดูกขากรไพรล่าง

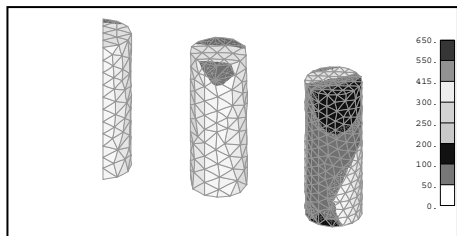
3.1 การกระจายความเค้นในกรณีที่ 1 เมื่อมีแรงบดเคี้ยวกระจายทั่วทั้งปากโดยกำหนดจุดแรงดึงดูดเดียว 155-175-195 N

3.1.1 การกระจายความเค้นบนโครงสร้างพื้นปลอม

ความเค้นเฉือนบนบริเวณหัวลักษณะของรากฟันเทียมดัวที่ 1 มีค่าสูงกว่าความเค้นเฉือนในบริเวณอื่นๆในโครงสร้างพื้นปลอม โดยมีค่าความเค้นเฉือนสูงสุดซึ่งอยู่ที่คอรากฟันเทียมดัวที่ 1 ด้านติดกับส่วนยื่นด้านท้ายพื้นปลอมเท่ากับ 410 MPa ใกล้เคียงกับค่าความเค้นเฉือนที่จุดครากของไทยเนียมอัลลอย (415 MPa) การกระจายความเค้นในบริเวณนี้อยู่ในลักษณะของความเค้นชุมนุม สังเกตได้จากการที่ความเค้นที่มีค่าสูงเกิดขึ้นเป็นบริเวณเล็กๆที่มุ่งรอยต่อระหว่างหลักยึดกับโครงโลหะ ส่วนความเค้นที่เกิดขึ้นในบริเวณอื่น เช่น ในหลักยึดรากฟันเทียมดัวที่ 2 และ 3 ในโครงโลหะ รวมถึงความเค้นเฉือนที่เกิดขึ้นบนรากฟันเทียมทั้งหมดมีค่าต่ำมากเมื่อเทียบกับความเค้นเฉือนที่จุดครากของไทยเนียมอัลลอย



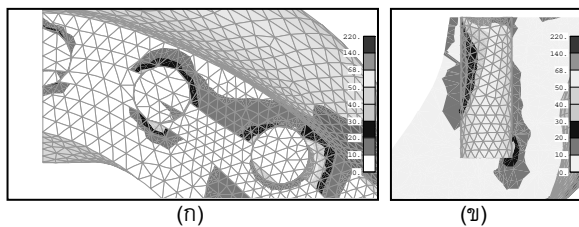
(g)



(x)

รูปที่ 8 การกระจายความเค้นเนื่องสูงสุด, MPa ที่เกิดบน (ก) โครงโลหะและหลักยึดراكพันเทียม, (ข) راكพันเทียมในแบบจำลองพื้นปломบ์ไฮบริด 5 راكพันเทียม มีชุดแรงบดเดียว 155-175-195 N

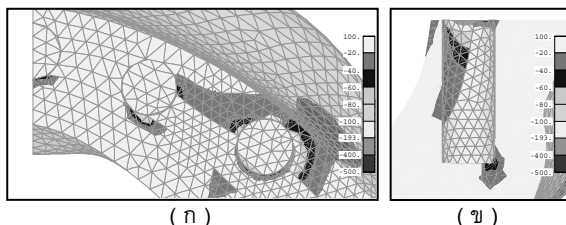
3.1.2 การกระจายความเค้นบนกระดูกอบรากพันเทียม



(g)

(x)

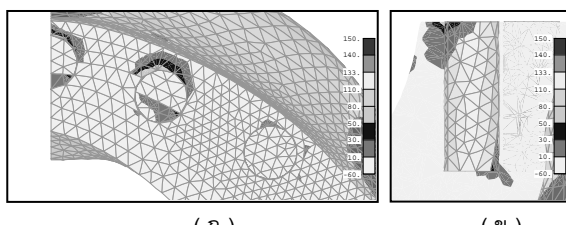
รูปที่ 9 การกระจายความเค้นเนื่องสูงสุด, MPa บนกระดูกขากรรไกรรอบรากพันเทียมในแบบจำลองพื้นปломบ์ไฮบริด 5 راكพันเทียม ซึ่งมีแรงบดเดียว 155-175-195 N โดยที่ (ก) เป็นภาพมุมบนของกระดูกอบรากพันเทียม (ข) เป็นภาพหน้าตัดของกระดูกอบรากพันเทียมตัวที่ 1



(g)

(x)

รูปที่ 10 การกระจายความเค้นหลักต่ำสุด, MPa บนกระดูกขากรรไกรรอบรากพันเทียมในแบบจำลองพื้นปломบ์ไฮบริด 5 راكพันเทียม ซึ่งมีแรงบดเดียว 155-175-195 N โดยที่ (ก) เป็นภาพมุมบนของกระดูกอบรากพันเทียม (ข) เป็นภาพหน้าตัดของกระดูกอบรากพันเทียมตัวที่ 1



(g)

(x)

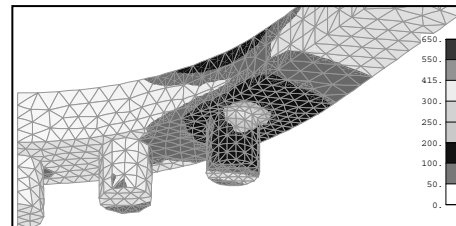
รูปที่ 11 การกระจายความเค้นหลักสูงสุด, MPa บนกระดูกขากรรไกรรอบรากพันเทียมในแบบจำลองพื้นปломบ์ไฮบริด 5 راكพันเทียม ซึ่งมีแรงบดเดียว 155-175-195 N โดยที่ (ก) เป็นภาพมุมบนของ

กระดูกอบรากพันเทียม (ข) เป็นภาพหน้าตัดของกระดูกอบรากพันเทียมตัวที่ 2

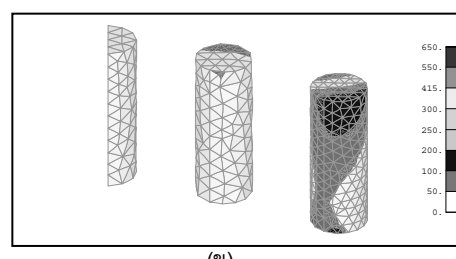
ค่าความเค้นเฉือน ค่าความเค้นกด ค่าความเค้นดึงในส่วนของกระดูกไปร่วมค่าที่ต่ำมากเมื่อเทียบกับความเค้นในกระดูกทึบ สาเหตุจากการที่ค่าโมดูลัสความยืดหยุ่นของกระดูกไปร่วมมีค่าต่ำกว่ากระดูกทึบถึง 10 เท่า ทำให้การถ่ายทอดแรงจากการอบรากพันเทียมลงสู่กระดูกทึบมากกว่ากระดูกป่อง โดยที่ค่าความเค้นที่กระายลงสู่กระดูกอบรากพันเทียมแต่ละด้านนั้นมีค่าสูงสุดอยู่ที่กระดูกระดับบนสุดซึ่งตรงกับบริเวณคอของรากพันเทียม ซึ่งความเค้นจะมีค่าลดลงในกระดูกที่อยู่ลึกไปจากคอของรากพันเทียม และอยู่ห่างจากคอของรากพันเทียมออกไปในแนววัสดุของรากพันเทียม ความเค้นเฉือน ความเค้นกดบนกระดูกอบรากพันเทียมซึ่งมีค่าสูงกว่าค่ากำลังวัสดุเกิดขึ้นเป็นบริเวณเล็กๆ บนกระดูกบริเวณคอของรากพันเทียมตัวที่ 1 ด้านเดียวกับส่วนยื่นด้านท้ายพื้นปломบ์ โดยที่จุดนี้ ค่าความเค้นเฉือนมีค่าสูงสุดเท่ากับ 124 MPa และค่าความเค้นกดสูงสุดเท่ากับ -322 MPa ความเค้นดึงสูงสุดในกระดูกรอบรากพันเทียมอยู่ที่กระดูกบริเวณคอด้านหน้าของรากพันเทียมตัวที่ 2 มีค่าเท่ากับ 83 MPa ซึ่งมีค่าน้อยกว่าค่ากำลังวัสดุของกระดูก

3.2 การกระจายความเค้นในกรณีที่ 2 เมื่อมีแรงบดเดียวเฉพาะบริเวณพื้นผิวรามขوا โดยกำหนดชุดแรงบดเดียว 190 N

3.2.1 การกระจายความเค้นบนโครงสร้างพื้นปломบ์



(ก)



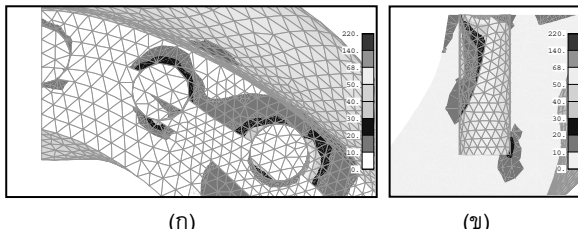
(ข)

รูปที่ 12 การกระจายความเค้นเฉือนสูงสุด, MPa ที่เกิดบน (ก) โครงโลหะและหลักยึดراكพันเทียม, (ข) รากพันเทียมในแบบจำลองพื้นปломบ์ไฮบริด 5 รากพันเทียม มีชุดแรงบดเดียว 190N

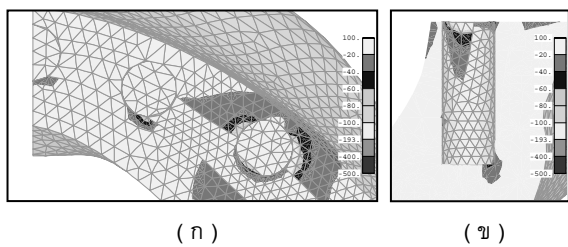
ลักษณะการกระจายความเค้นในกรณีที่ 2 โดยที่โครงสร้างพื้นปломบ์เกิดความเค้นสูงเป็นบริเวณเล็กๆ ในลักษณะของความเค้นชุมนุมที่บริเวณคอหลักยึดراكพันเทียมตัวที่ 1 ด้านที่ติดกับส่วนยื่นด้านท้ายพื้นปломบ์ ความเค้นเฉือนสูงที่เกิดขึ้นในบริเวณนี้มีค่าเข้าใกล้ค่าความเค้นเฉือนในจุดกลางของไฟฟ้าเนียมอัล

ลอย โดยที่ค่าความเด่นเฉือนที่เกิดขึ้นสูงสุดนั้นมีค่าเท่ากับ 411 MPa ส่วนค่าความเด่นเฉือนที่กระจายอยู่ในบริเวณอื่นๆของโครงสร้างพื้นปломนั้นมีค่าต่ำมากเมื่อเทียบกับค่าความเด่นเฉือนที่จุดครากของโลหะ

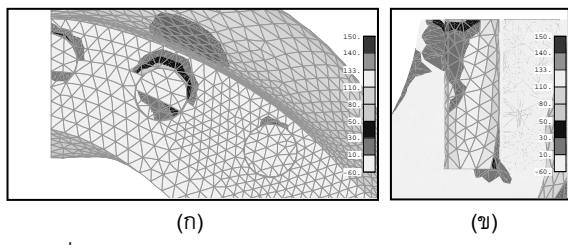
3.2.2 การกระจายความเด่นบนกระดูกรอบรากฟันเทียม



รูปที่ 13 การกระจายความเด่นเฉือนสูงสุด, MPa บนกระดูกขากรรไกรรอบรากฟันเทียมในแบบจำลองฟันปลอมไฮบริด 5 راكฟันเทียม ซึ่งมีแรงบดเคี้ยว 190 N โดยที่ (g) เป็นภาพมุมบนของกระดูกรอบรากฟันเทียม (x) เป็นภาพหน้าตัดของกระดูกรอบรากฟันเทียมตัวที่ 1



รูปที่ 14 การกระจายความเด่นหลักต่ำสุด, MPa บนกระดูกขากรรไกรรอบรากฟันเทียมในแบบจำลองฟันปลอมไฮบริด 5 راكฟันเทียม ซึ่งมีแรงบดเคี้ยว 190 N โดยที่ (g) เป็นภาพมุมบนของกระดูกรอบรากฟันเทียม (x) เป็นภาพหน้าตัดของกระดูกรอบรากฟันเทียมตัวที่ 1



รูปที่ 15 การกระจายความเด่นหลักสูงสุด, MPa บนกระดูกขากรรไกรรอบรากฟันเทียมในแบบจำลองฟันปลอมไฮบริด 5 راكฟันเทียม ซึ่งมีแรงบดเคี้ยว 190 N โดยที่ (g) เป็นภาพมุมบนของกระดูกรอบรากฟันเทียม (x) เป็นภาพหน้าตัดของกระดูกรอบรากฟันเทียมตัวที่ 2

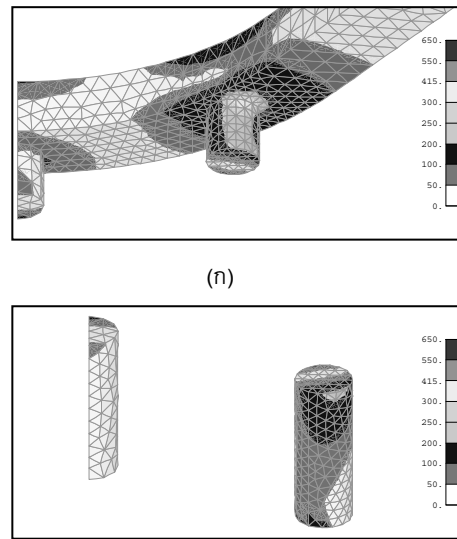
ความเด่นเฉือนและความเด่นกดที่เกิดขึ้นมีค่าสูงสุดอยู่ที่บริเวณกระดูกรอบคอกรากฟันเทียมตัวที่ 1 ด้านเดียวกับส่วนยื่นด้านท้ายฟันปลอม โดยค่าความเด่นที่เกิดขึ้นในบริเวณนี้มีค่าต่ำเมื่อเทียบกับค่าความเด่นเฉือนที่จุดครากของไทยาเนียมอัลลอย

แข็งแรงของกระดูก ซึ่งความเด่นเฉือนสูงสุดที่เกิดขึ้นในจุดนี้เท่ากับ 89 MPa และความเด่นกดสูงสุดที่เกิดขึ้นในจุดนี้มีค่าเท่ากับ -219 MPa ค่าความเด่นดึงสูงสุดนั้นอยู่บริเวณคอกรากฟันเทียมตัวที่ 2 ด้านหน้าซึ่งมีค่าความเด่นสูงสุดที่น้อยกว่าค่าความแข็งแรงของกระดูก โดยค่าความเด่นดึงสูงสุดนั้นมีค่าเท่ากับ 71 MPa

4. การกระจายความเด่นในฟันปลอมไฮบริด 3 راكฟันเทียม

4.1 การกระจายความเด่นในกรณีที่ 1 เมื่อมีแรงบดเคี้ยวกระจา呀หัวทั้งปาก โดยกำหนดชุดแรงบดเคี้ยว 155-175-195 N

4.1.1 การกระจายความเด่นบนโครงสร้างฟันปลอม



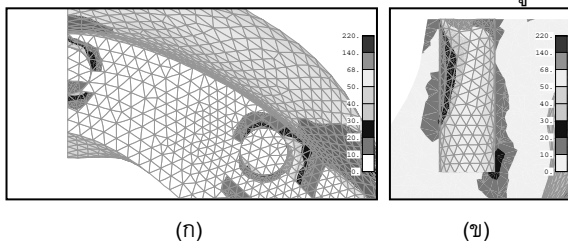
รูปที่ 16 การกระจายความเด่นเฉือนสูงสุด, MPa ที่เกิดบน (g) โครงโลหะและหลักยึดรากฟันเทียม, (x) รากฟันเทียมในแบบจำลองฟันปลอมไฮบริด 3 راكฟันเทียม มีชุดแรงบดเคี้ยว 155-175-195 N

ความเด่นเฉือนมีการกระจายความเด่นบนโครงสร้างโดยรวมแล้วคล้ายกับในฟันปลอมไฮบริด 5 راكฟันเทียม โดยการขาดหายไปของรากฟันเทียมตัวที่ 2 ทำให้ความเด่นที่เกิดขึ้นบริเวณหลักยึดรากฟันเทียมตัวที่ 1 และตัวที่ 3 เพิ่มขึ้น แต่จุดที่เกิดความเด่นเฉือนสูงยังคงอยู่ในบริเวณเดิมคือบริเวณคอกหลักยึดรากฟันเทียมตัวที่ 1 ด้านติดกับส่วนยื่นด้านท้ายฟันปลอม โดยค่าความเด่นเฉือนสูงสุดที่เกิดขึ้นในบริเวณนี้เท่ากับ 432 MPa ซึ่งมีค่ามากกว่าค่าความเด่นเฉือนที่จุดครากของไทยาเนียมอัลลอย ส่วนค่าความเด่นที่เกิดขึ้นในบริเวณอื่นของโครงสร้างฟันปลอมยังคงมีค่าต่ำเมื่อเทียบกับค่าความเด่นเฉือนที่จุดครากของไทยาเนียมอัลลอย

4.1.2 การกระจายความเด่นบนกระดูกรอบรากฟันเทียม

รูปแบบของการกระจายความเด่นในกระดูกรอบรากฟันเทียมแต่ละตัวคล้ายกับการกระจายความเด่นบนกระดูกรอบรากฟันเทียมในแบบจำลองฟันปลอมไฮบริด 5 راكฟันเทียม โดยค่าความเด่นสูงจะอยู่

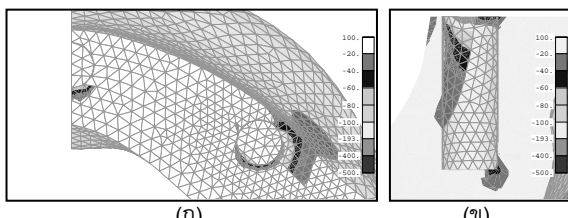
บริเวณครากพื้นเทียมแต่ละตัว และความเค้นจะมีค่าห้อยลงในกระดูกที่อยู่ห่างจากครากพื้นเทียมทั้งในแนวหัวศี弥ของรากพื้นเทียมและในแนวแกนของรากพื้นเทียม และดูที่พบค่าสูงสุดน้อยกว่าบริเวณครากพื้นเทียมตัวที่ 1 ด้านเดียวกับส่วนยื่นด้านท้ายพื้นปลอม ซึ่งในจุดนี้จะมีค่าความเค้นเนื่องและความเค้นกดที่สูงกว่าค่าความแข็งแรงของกระดูก โดยที่ค่าความเค้นเนื่องสูงสุดในกระดูกรอบรากพื้นเทียมเท่ากับ 144 MPa ความเค้นกดที่มีค่าสูงสุดในกระดูกรอบรากพื้นเทียมเท่ากับ -370 MPa ส่วนค่าความเค้นดึงที่เกิดขึ้นบนกระดูกรอบรากพื้นเทียมมีค่าสูงสุดอยู่ที่บริเวณด้านหน้าของรากพื้นเทียมตัวที่ 3 เท่ากับ 112 MPa ซึ่งเป็นค่าที่ต่ำกว่าค่าความแข็งแรงของกระดูกที่บ



(g)

(x)

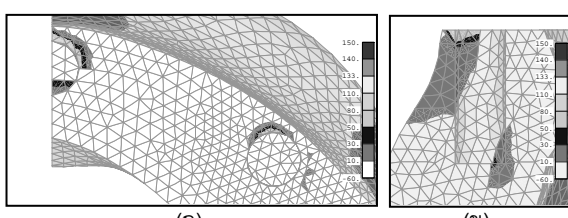
รูปที่ 17 การกระจายความเค้นเนื่องสูงสุด, MPa บนกระดูกจากการไกรรอบรากพื้นเทียมในแบบจำลองพื้นปลอมไอบริด 3 รากพื้นเทียม ซึ่งมีแรงบดเคี้ยว 155-175-195 N โดยที่ (g) เป็นภาพมุมบนของกระดูกรอบรากพื้นเทียม (x) เป็นภาพหน้าตัดของกระดูกรอบรากพื้นเทียมตัวที่ 3



(g)

(x)

รูปที่ 18 การกระจายความเค้นหลักต่ำสุด, MPa บนกระดูกจากการไกรรอบรากพื้นเทียมในแบบจำลองพื้นปลอมไอบริด 3 รากพื้นเทียม ซึ่งมีแรงบดเคี้ยว 155-175-195 N โดยที่ (g) เป็นภาพมุมบนของกระดูกรอบรากพื้นเทียม (x) เป็นภาพหน้าตัดของกระดูกรอบรากพื้นเทียมตัวที่ 1



(g)

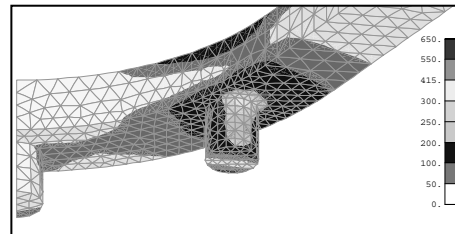
(x)

รูปที่ 19 การกระจายความเค้นหลักสูงสุด, MPa บนกระดูกจากการไกรรอบรากพื้นเทียมในแบบจำลองพื้นปลอมไอบริด 3 รากพื้นเทียม ซึ่งมีแรงบดเคี้ยว 155-175-195 N โดยที่ (g) เป็นภาพมุมบนของกระดูกรอบรากพื้นเทียม (x) เป็นภาพหน้าตัดของกระดูกรอบรากพื้นเทียมตัวที่ 1

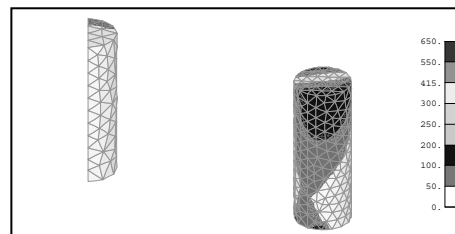
กระดูกรอบรากพื้นเทียม (x) เป็นภาพหน้าตัดของกระดูกรอบรากพื้นเทียมตัวที่ 3

4.2 การกระจายความเค้นในการถีบ 2 เมื่อมีแรงบดเคี้ยวเฉพาะบริเวณเพียงรามด้านขวา โดยกำหนดชุดแรงบดเคี้ยว 190 N

4.2.1 การกระจายความเค้นบนโครงสร้างพื้นปลอม



(g)

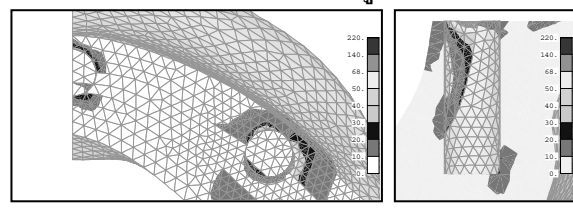


(x)

รูปที่ 20 การกระจายความเค้นเนื่องสูงสุด ที่เกิดบน (g) โครงโลหะและหลักยึดรากพื้นเทียม (x) รากพื้นเทียมในแบบจำลองพื้นปลอมไอบริด 3 รากพื้นเทียม มีชุดแรงบดเคี้ยว 190 N

ลักษณะการกระจายความเค้นมีลักษณะของการกระจายที่ไม่แตกต่างอย่างชัดเจนเมื่อเทียบกับการกระจายความเค้นในพื้นปลอมไอบริด 5 รากพื้นเทียมเมื่อมีแรงบดเคี้ยวเท่ากัน โดยที่ค่าความเค้นเนื่องที่มีค่าสูงสุดนั้นยังคงอยู่ที่ colloquial ยึดรากพื้นเทียมตัวที่ 1 ด้านที่ติดกับส่วนยื่นด้านท้ายพื้นปลอม ค่าความเค้นเนื่องสูงสุดที่เกิดขึ้นในบริเวณนี้ค่าเท่ากับ 436 MPa ซึ่งมีค่าสูงกว่าค่าความเค้นเนื่องที่จุดครากของไฟฟ้าเนียมอัลลอยเพียงเล็กน้อย

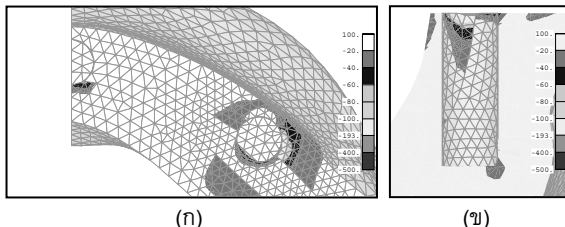
4.2.2 การกระจายความเค้นบนกระดูกรอบรากพื้นเทียม



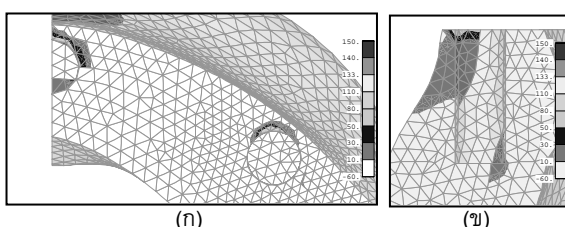
(g)

(x)

รูปที่ 21 การกระจายความเค้นเนื่องสูงสุด, MPa บนกระดูกจากการไกรรอบรากพื้นเทียมในแบบจำลองพื้นปลอมไอบริด 3 รากพื้นเทียม ซึ่งมีแรงบดเคี้ยว 190 N โดยที่ (g) เป็นภาพมุมบนของกระดูกรอบรากพื้นเทียม (x) เป็นภาพหน้าตัดของกระดูกรอบรากพื้นเทียมตัวที่ 1



รูปที่ 22 การกระจายความเค้นหลักต่ำสุด, MPa บนกระดูก จากการไกรอกรากฟันเทียมในแบบจำลองฟันปลอมไฮบริด 3 รากฟัน เทียม ซึ่งมีแรงบดเคี้ยว 190 N โดยที่ (g) เป็นภาพมุมบนของกระดูก รอบรากฟันเทียม (h) เป็นภาพหน้าตัดของกระดูกรอบรากฟันเทียมตัวที่ 1



รูปที่ 23 การกระจายความเค้นหลักสูงสุด, MPa บนกระดูก จากการไกรอกรากฟันเทียมในแบบจำลองฟันปลอมไฮบริด 3 รากฟัน เทียม ซึ่งมีแรงบดเคี้ยว 190 N โดยที่ (g) เป็นภาพมุมบนของกระดูก รอบรากฟันเทียม (h) เป็นภาพหน้าตัดของกระดูกรอบรากฟันเทียมตัวที่ 3

ลักษณะการกระจายความเค้นบนกระดูกรอบรากฟันเทียมแต่ละ ตัวเหมือนกับลักษณะการกระจายความเค้นที่เกิดขึ้นบนกระดูกรอบรากฟันเทียมในแบบจำลองฟันปลอมไฮบริด 5 รากฟันเทียม เมื่อมีแรงบดเคี้ยวเท่ากัน โดยความเค้นที่มีค่าสูงจะอยู่ในกระดูกประชิดผิวของรากฟัน เทียมบริเวณคอรากฟันเทียมและความเค้นจะมีค่าลดลงเมื่อยื่นห่างจากจุดตั้งกล่าว ความเค้นเนื่องและความเค้นกดสูงสุดในกระดูกรอบรากฟันเทียมนั้นอยู่ที่บริเวณคอรากฟันเทียมตัวที่ 1 ด้านเดียวกับส่วนยื่นด้านท้ายฟันปลอม โดยมีความเค้นเฉลี่อนสูงสุดเท่ากับ 102 MPa ซึ่งมากกว่าความแข็งแรงของกระดูก ส่วนความเค้นกดสูงสุดที่เกิดขึ้นในบริเวณเดียวกันนี้มีค่าเท่ากับ -247 MPa ซึ่งมากกว่าความแข็งแรงของกระดูก ส่วนความเค้นดึงบนกระดูกรอบรากฟันเทียม มีค่าสูงสุดอยู่ที่บริเวณคอรากฟันเทียมตัวที่ 3 ด้านหน้าของรากฟันเทียม ค่าความเค้นดึงสูงสุดนี้มีค่าเท่ากับ 71 MPa ซึ่งมีค่าต่ำกว่าความแข็งแรงของกระดูกทึบ

5. สรุปการกระจายความเค้นในแบบจำลองฟันปลอมไฮบริด

ในแบบจำลองฟันปลอมไฮบริด 3 รากฟันเทียมบนขากรรไกรล่าง เมื่อมีแรงบดเคี้ยวกระจาภทั่วไป และเมื่อมีแรงบดเคี้ยวบนกระดูก ด้านขวาเพียงด้านเดียว มีลักษณะการกระจายความเค้นโดยทั่วไป คล้ายกับแบบจำลองฟันปลอมไฮบริด 5 รากฟันเทียม กล่าวคือ ความ

เค้นที่มีค่าสูงจะอยู่ที่ตำแหน่งของรากฟันเทียมตัวหลังสุดในแบบจำลอง โดยที่บนโครงสร้างฟันปลอม (โครงโลหะ หลักยึด และรากฟันเทียม) จะพบความเค้นสูงในลักษณะของความเค้นชุมนุมที่คือหลักยึดซึ่งเป็นรอยต่อระหว่างหลักยึดกับโครงโลหะ ส่วนบนกระดูกรอบรากฟันเทียม แต่ละตัวนั้นจะพบความเค้นสูงที่บริเวณคอรากฟันเทียม โดยที่ความเค้นในกระดูกรอบรากฟันเทียมจะมีค่าลดลงเมื่อยื่นห่างจากจุดตั้ง กระดูกและเมื่อยื่นห่างจากคอหักยึดของรากฟันเทียมไปตามทิศทางรัศมีของรากฟันเทียม

เมื่อเปรียบเทียบความเค้นที่มีค่าสูงสุดในแบบจำลองฟันปลอมไฮบริด 3 รากฟันเทียมกับแบบจำลองฟันปลอมไฮบริด 5 รากฟันเทียม เมื่อมีแรงบดเคี้ยวเท่ากันพบว่า ในโครงสร้างฟันปลอมซึ่งเป็นโลหะ ค่าความเค้นเฉลี่อนสูงสุดที่อยู่ที่คือหลักยึดของรากฟันเทียมตัวที่ 1 ด้านติดกับส่วนยื่นด้านท้ายฟันปลอมนั้นในแบบจำลองไฮบริด 3 รากฟันเทียมจะมีค่ามากกว่าในแบบจำลอง 5 รากฟันเทียม ($\approx 5.4\%$ ในกรณีที่ 1, $\approx 6.1\%$ ในกรณีที่ 2)

ในกระดูกรอบรากฟันเทียมนั้น ค่าความเค้นเฉลี่อนและความเค้น กดมีค่าสูงสุดอยู่บริเวณคอรากฟันเทียมตัวที่ 1 ด้านเดียวกับส่วนยื่น ด้านท้ายฟันปลอม โดยที่ความเค้นเฉลี่อนสูงสุดในแบบจำลองฟันปลอมไฮบริด 3 รากฟันเทียมจะมีค่าสูงกว่าในแบบจำลองฟันปลอมไฮบริด 5 รากฟันเทียม ($\approx 16.1\%$ ในกรณีที่ 1, $\approx 14.6\%$ ในกรณีที่ 2) ความเค้น กดสูงสุดในแบบจำลองฟันปลอมไฮบริด 3 รากฟันเทียมก็มีค่าสูงกว่าในแบบจำลองฟันปลอมไฮบริด 5 รากฟันเทียม ($\approx 14.9\%$ ในกรณีที่ 1, $\approx 12.8\%$ ในกรณีที่ 2)

ส่วนความเค้นดึงสูงสุดบนกระดูกรอบรากฟันเทียมในแบบจำลองฟันปลอมไฮบริด 3 รากฟันเทียมซึ่งอยู่ที่คอรากฟันเทียมตัวที่ 3 นั้นเมื่อเทียบกับความเค้นดึงสูงสุดในกระดูกรอบรากฟันเทียมในแบบจำลองฟันปลอมไฮบริด 5 รากฟันเทียมซึ่งอยู่ที่คอรากฟันเทียมตัวที่ 2 พบว่า ความเค้นดึงสูงสุดบนกระดูกรอบรากฟันเทียมในแบบจำลองฟันปลอมไฮบริด 3 รากฟันเทียมจะมีค่าสูงกว่าสำหรับในกรณีที่ 1 ($\approx 34.9\%$) แต่ความเค้นดึงสูงสุดบนกระดูกรอบรากฟันเทียมในแบบจำลองฟันปลอมไฮบริด 3 รากฟันเทียมจะมีค่าเท่ากับสำหรับในกรณีที่ 2

จากการศึกษาการกระจายความเค้นบนฟันปลอมไฮบริด 3 รากฟันเทียม และ 5 รากฟันเทียมแสดงให้เห็นว่าการลดจำนวนรากฟัน เทียมลงให้เหลือเพียงแค่ 3 ตัวนั้นทำให้ความเค้นสูงสุดที่เกิดขึ้นในแบบจำลองมีค่าสูงขึ้น โดยเฉพาะในตำแหน่งของรากฟันเทียมตัวหลังสุด ซึ่งข้อสรุปที่ได้นี้ขัดแย้งกับการศึกษาของ Branemark และคณะ (1999) [6]

6. สรุปความเป็นไปได้ในการลดจำนวนรากฟันเทียมเหลือเพียง 3 ตัว

จากการคำนวณที่ได้จากการเบี่ยงบวชไฟในต์โอลิเมนต์แสดงให้เห็นว่าการลดจำนวนรากฟันเทียมเพื่อรับฟันปลอมไฮบริดจาก 5

ตัวเหลือเพียงแค่ 3 ด้านน้ำทำให้ความเค้นเนื่องสูงสุดบนโครงสร้างพันปลอมมีค่าเพิ่มขึ้นประมาณ 5-6 เบอร์เซ็นต์ ส่วนในกระดูกรอบรากฟันเที่ยมมีค่าความเค้นเนื่องสูงสุดเพิ่มประมาณ 15-16% ค่าความเค้นกัดสูงสุดเพิ่มขึ้นประมาณ 13-15% ดังนั้นการลดจำนวนรากฟันเที่ยมที่ต้องผังลงกระดูกขากรรไกรล่างเพื่อรองรับพันปลอมไปบริดน้ำจากก่อให้เกิดความล้มเหลวเนื่องจากความเค้นที่มีค่าสูงขึ้นบนโครงสร้างพันปลอมหรือความเค้นที่สูงขึ้นในกระดูกรอบรากฟันเที่ยม

การที่ความเค้นสูงสุดที่เกิดขึ้นในโครงสร้างพันปลอมและกระดูกรอบรากฟันเที่ยมมีค่าสูงขึ้นนั้นมีสาเหตุมาจากการหายไปของรากฟันเที่ยมตัวที่ 2 ทำให้โมเมนต์ดัดที่ถ่ายทอดลงสู่รากฟันเที่ยมแต่ละด้านนั้นมีค่ามากขึ้น แม้ว่าแรงในแนวแกนรากฟันเที่ยมจะมีค่าลดลง โดยที่ค่าโมเมนต์ดัดที่ถูกถ่ายทอดจากโครงโอละหันนี้มีผลต่อค่าความเค้นสูงสุดที่เกิดขึ้นในโครงสร้างพันปลอมและกระดูกรอบรากฟันเที่ยมมากกว่าแรงกดในแนวแกนรากฟันเที่ยม

ดังนั้นการที่จะนำพันปลอมไปบริด 3 รากฟันเที่ยมไปใช้ในผู้ป่วยไร้ฟันนั้นจะต้องลดความเสี่ยงต่อการเกิดความเสียหายในโครงสร้างพันปลอม โดยอาศัยแนวทางดังต่อไปนี้

1. การลดโมเมนต์ที่พยายามทำให้เกิดการหมุนของโครงโอละหันด้วยการกำหนดตำแหน่งของรากฟันเที่ยมตัวหลังสุด ซึ่งเกิดจากแรงบิดเคี้ยวบนพันปลอมที่กระทำบนส่วนยื่นด้านท้ายพันปลอม เช่น การลดแรงบิดเคี้ยวบนพันปลอม การลดความยาวของส่วนยื่นด้านท้ายพันปลอม
2. เปลี่ยนรูปร่างของหลักยึดรากฟันเที่ยม เพื่อช่วยลดค่าความเค้นสูงสุดที่เกิด ณ บริเวณคอหลักยึดรากฟันเที่ยมซึ่งเกิดขึ้นในลักษณะของความเค้นชุมนุม โดยการออกแบบให้หลักยึดรากฟันเที่ยมตัวหลังสุดได้มากขึ้น เช่น การเพิ่มบ่ารองรับบริเวณคอรากฟันเที่ยม หรือการเพิ่มขนาดหลักยึดรากฟันเที่ยมให้ใหญ่กว่าเดิม (มีค่าโมเมนต์ความเฉียบเพิ่มขึ้น)
3. เปลี่ยนวัสดุที่ใช้ทำโครงโอละหันให้โครงโอละหันมีความแข็งมากขึ้น
4. เปลี่ยนโครงสร้างพันปลอม ทำให้แรงที่ล็อกในรากฟันเที่ยมแต่ละตัวเป็นแรงตามแนวแกน เพื่อหลีกเลี่ยงการถ่ายทอดโมเมนต์แรงดัดลงสู่หลักยึดและรากฟันเที่ยม

เอกสารอ้างอิง

- [1] Adell, R., Eriksson, B., Lekholm, U., Bränemark, P.-I., and Jemt, T., 1990. A long-term follow-up study of Osseo integrated implants in the treatment of totally edentulous jaws. Int. J. Oral Maxillofacial Implants 5(1990), pp. 347-359.
- [2] Barbier, L. et al., 1998. Finite element analysis of non-axial versus axial loading of oral implants in the mandible of the dog, J. Oral Rehab 25(1998), pp. 874-858.
- [3] Falk, H., Laurell, L. and Lundgren, D.1989. Occlusal force pattern in dentitions with mandibular implant-supported fixed cantilever prostheses occluded with complete dentures. Int. J. Oral Maxillofacial Implants 4(1989), pp. 55-62.
- [4] Fontijn-Tekamp, F. A. et al.1998. Bite forces with mandibular implant-retained over denture. J Dent Res 1998; 77, pp. 1832-1839
- [5] Jemt, T., Book, K. and Karlsson, S. 1993. Occlusal force and mandibular movements in patients with removable over dentures and fixed prostheses supported by implants in the maxilla. Int. J. Oral Maxillofac Implants 8(1993), pp. 301-308.
- [6] Bränemark, P.-I., Enstrand, P., Öhrnell, L.-O., Gröndahl, K., Nilsson, P., Hagberg, K., Darle, C. and Lekholm, U., 1999. Bränemark Novum®: A new treatment concept for Rehabilitation of the edentulous of the edentulous mandible. Preliminary results from a prospective clinical follow-up study, Clinical Implant Dentistry and Related Research 1(1999), pp. 2-16.
- [7] Korioth, T.W.P. and Johann, A. R.1999. Influence of mandibular superstructure shape on implant stresses during simulated posterior biting. J. Prosthetic Dent 82, pp. 67-72.
- [8] Korioth, T.W.P., Versluis, A. 1997. Modeling the mechanical behavior of the jaws and their related structures by finite element (FE) analysis. Crit Rev Oral Biol Med 8(1997): pp. 90-104.
- [9] Sertöz, A., Guvener, S.1996. Finite element analysis of the effect of cantilever and implant length on stress distribution in an implant-supported fixed prosthesis. J. Prosthetic Dent 76(1996), pp. 165-169.
- [10] Zarb, G. A. and Bolender, C. L. 1997, Implant-supported prostheses for edentulous patients. In Zarb, G. A, Bolender, C. L and Carlsson, G. E. Boucher's prosthodontic treatment for edentulous patients, pp. 493-497. Illinois: Mosby-Year Book.
- [11] อัญชลี ตั้งจัตุรนต์รัศมี, 2545. การวิเคราะห์การกระจายของแรงเค้นด้วยวิธีไฟโน๊ตเต้อลิเมนต์ในพันปลอมติดแน่นชนิดไอบริดที่พื้นผ้าประชิดของรากเที่ยมและกระดูกอันเป็นผลมาจากการเค้นและตำแหน่งของรากเที่ยม. วิทยานิพนธ์ปริญญามหาบัณฑิต หั้นต แพทยศาสตร์ จุฬาลงกรณ์มหาวิทยาลัย.
- [12] ชาคริต ตั้งคิริมคล, 2545, การวิเคราะห์ความเค้นในรากฟันเที่ยมของพันปลอมติดแน่นชนิดไอบริดโดยใช้รัฐเบียบวิธีไฟโน๊ตเต้อลิเมนต์. วิทยานิพนธ์ปริญญามหาบัณฑิต วิศวกรรมศาสตร์ จุฬาลงกรณ์มหาวิทยาลัย.